

Starkniederschlagshöhen und -spenden gemäß KOSTRA-DWD-2020

Rasterfeld 168131

(Zeile 168, Spalte 131)

Regenspende und Bemessungsniederschlagswerte in Abhängigkeit von Wiederkehrzeit T und Dauerstufe D

| Dauerstufe D | | Wiederkehrzeit T | | | | | | | | | | | | | | | | | |
|--------------|-----|------------------|------------|------|------------|------|------------|-------|------------|-------|------------|-------|------------|-------|------------|-------|------------|-------|------------|
| | | 1 a | | 2 a | | 3 a | | 5 a | | 10 a | | 20 a | | 30 a | | 50 a | | 100 a | |
| min | Std | mm | l / (s ha) | mm | l / (s ha) | mm | l / (s ha) | mm | l / (s ha) | mm | l / (s ha) | mm | l / (s ha) | mm | l / (s ha) | mm | l / (s ha) | mm | l / (s ha) |
| 5 | | 6,7 | 223,3 | 8,3 | 276,7 | 9,3 | 310,0 | 10,6 | 353,3 | 12,4 | 413,3 | 14,3 | 476,7 | 15,6 | 520,0 | 17,2 | 573,3 | 19,6 | 653,3 |
| 10 | | 8,8 | 146,7 | 10,9 | 181,7 | 12,1 | 201,7 | 13,8 | 230,0 | 16,2 | 270,0 | 18,7 | 311,7 | 20,4 | 340,0 | 22,5 | 375,0 | 25,6 | 426,7 |
| 15 | | 10,1 | 112,2 | 12,5 | 138,9 | 14,0 | 155,6 | 15,9 | 176,7 | 18,7 | 207,8 | 21,6 | 240,0 | 23,4 | 260,0 | 25,9 | 287,8 | 29,4 | 326,7 |
| 20 | | 11,1 | 92,5 | 13,7 | 114,2 | 15,3 | 127,5 | 17,5 | 145,8 | 20,5 | 170,8 | 23,7 | 197,5 | 25,8 | 215,0 | 28,5 | 237,5 | 32,3 | 269,2 |
| 30 | | 12,6 | 70,0 | 15,6 | 86,7 | 17,4 | 96,7 | 19,8 | 110,0 | 23,3 | 129,4 | 26,9 | 149,4 | 29,2 | 162,2 | 32,3 | 179,4 | 36,7 | 203,9 |
| 45 | | 14,2 | 52,6 | 17,6 | 65,2 | 19,7 | 73,0 | 22,4 | 83,0 | 26,3 | 97,4 | 30,4 | 112,6 | 33,0 | 122,2 | 36,5 | 135,2 | 41,5 | 153,7 |
| 60 | 1 | 15,5 | 43,1 | 19,1 | 53,1 | 21,4 | 59,4 | 24,4 | 67,8 | 28,6 | 79,4 | 33,0 | 91,7 | 35,9 | 99,7 | 39,7 | 110,3 | 45,1 | 125,3 |
| 90 | 1,5 | 17,4 | 32,2 | 21,5 | 39,8 | 24,1 | 44,6 | 27,4 | 50,7 | 32,2 | 59,6 | 37,2 | 68,9 | 40,4 | 74,8 | 44,7 | 82,8 | 50,8 | 94,1 |
| 120 | 2 | 18,9 | 26,3 | 23,4 | 32,5 | 26,1 | 36,3 | 29,7 | 41,3 | 35,0 | 48,6 | 40,3 | 56,0 | 43,9 | 61,0 | 48,5 | 67,4 | 55,1 | 76,5 |
| 180 | 3 | 21,2 | 19,6 | 26,2 | 24,3 | 29,3 | 27,1 | 33,3 | 30,8 | 39,2 | 36,3 | 45,2 | 41,9 | 49,2 | 45,6 | 54,4 | 50,4 | 61,8 | 57,2 |
| 240 | 4 | 23,0 | 16,0 | 28,4 | 19,7 | 31,8 | 22,1 | 36,2 | 25,1 | 42,5 | 29,5 | 49,0 | 34,0 | 53,3 | 37,0 | 58,9 | 40,9 | 67,0 | 46,5 |
| 360 | 6 | 25,7 | 11,9 | 31,8 | 14,7 | 35,6 | 16,5 | 40,5 | 18,8 | 47,6 | 22,0 | 54,9 | 25,4 | 59,7 | 27,6 | 66,0 | 30,6 | 75,0 | 34,7 |
| 540 | 9 | 28,8 | 8,9 | 35,6 | 11,0 | 39,8 | 12,3 | 45,3 | 14,0 | 53,3 | 16,5 | 61,5 | 19,0 | 66,9 | 20,6 | 73,9 | 22,8 | 84,0 | 25,9 |
| 720 | 12 | 31,2 | 7,2 | 38,6 | 8,9 | 43,1 | 10,0 | 49,1 | 11,4 | 57,7 | 13,4 | 66,6 | 15,4 | 72,5 | 16,8 | 80,1 | 18,5 | 91,0 | 21,1 |
| 1080 | 18 | 34,9 | 5,4 | 43,2 | 6,7 | 48,3 | 7,5 | 55,0 | 8,5 | 64,6 | 10,0 | 74,6 | 11,5 | 81,1 | 12,5 | 89,6 | 13,8 | 101,8 | 15,7 |
| 1440 | 24 | 37,8 | 4,4 | 46,8 | 5,4 | 52,3 | 6,1 | 59,5 | 6,9 | 70,0 | 8,1 | 80,8 | 9,4 | 87,8 | 10,2 | 97,1 | 11,2 | 110,3 | 12,8 |
| 2880 | 48 | 45,9 | 2,7 | 56,7 | 3,3 | 63,3 | 3,7 | 72,1 | 4,2 | 84,8 | 4,9 | 97,9 | 5,7 | 106,4 | 6,2 | 117,6 | 6,8 | 133,7 | 7,7 |
| 4320 | 72 | 51,3 | 2,0 | 63,4 | 2,4 | 70,9 | 2,7 | 80,7 | 3,1 | 94,9 | 3,7 | 109,5 | 4,2 | 119,0 | 4,6 | 131,6 | 5,1 | 149,5 | 5,8 |
| 5760 | 96 | 55,6 | 1,6 | 68,6 | 2,0 | 76,7 | 2,2 | 87,4 | 2,5 | 102,7 | 3,0 | 118,6 | 3,4 | 128,9 | 3,7 | 142,5 | 4,1 | 161,9 | 4,7 |
| 7200 | 120 | 59,1 | 1,4 | 73,0 | 1,7 | 81,6 | 1,9 | 93,0 | 2,2 | 109,3 | 2,5 | 126,1 | 2,9 | 137,1 | 3,2 | 151,6 | 3,5 | 172,2 | 4,0 |
| 8640 | 144 | 62,1 | 1,2 | 76,8 | 1,5 | 85,9 | 1,7 | 97,8 | 1,9 | 114,9 | 2,2 | 132,6 | 2,6 | 144,2 | 2,8 | 159,4 | 3,1 | 181,2 | 3,5 |
| 10080 | 168 | 64,9 | 1,1 | 80,1 | 1,3 | 89,6 | 1,5 | 102,0 | 1,7 | 119,9 | 2,0 | 138,4 | 2,3 | 150,5 | 2,5 | 166,3 | 2,7 | 189,0 | 3,1 |

Starkniederschlagshöhen und -spenden gemäß KOSTRA-DWD-2020

Rasterfeld 168131

(Zeile 168, Spalte 131)

Örtliche Unsicherheiten in Abhängigkeit von Wiederkehrzeit T und Dauerstufe D

| Dauerstufe D | | Wiederkehrzeit T | | | | | | | | |
|--------------|-----|------------------|-----|-----|-----|------|------|------|------|-------|
| | | 1 a | 2 a | 3 a | 5 a | 10 a | 20 a | 30 a | 50 a | 100 a |
| min | Std | ± % | ± % | ± % | ± % | ± % | ± % | ± % | ± % | ± % |
| 5 | | 12 | 13 | 14 | 15 | 16 | 16 | 17 | 17 | 18 |
| 10 | | 15 | 17 | 18 | 19 | 20 | 21 | 21 | 22 | 22 |
| 15 | | 17 | 19 | 20 | 21 | 22 | 23 | 23 | 24 | 24 |
| 20 | | 18 | 20 | 21 | 22 | 23 | 24 | 24 | 25 | 25 |
| 30 | | 19 | 21 | 22 | 23 | 24 | 25 | 25 | 26 | 26 |
| 45 | | 19 | 21 | 22 | 23 | 24 | 25 | 26 | 26 | 27 |
| 60 | 1 | 19 | 21 | 22 | 23 | 24 | 25 | 25 | 26 | 26 |
| 90 | 1,5 | 18 | 20 | 21 | 22 | 23 | 24 | 25 | 25 | 26 |
| 120 | 2 | 17 | 19 | 20 | 21 | 22 | 23 | 24 | 24 | 25 |
| 180 | 3 | 16 | 18 | 19 | 20 | 21 | 22 | 23 | 23 | 24 |
| 240 | 4 | 15 | 17 | 18 | 19 | 20 | 21 | 22 | 22 | 23 |
| 360 | 6 | 14 | 16 | 17 | 18 | 19 | 20 | 20 | 21 | 21 |
| 540 | 9 | 13 | 15 | 16 | 17 | 18 | 19 | 19 | 19 | 20 |
| 720 | 12 | 13 | 14 | 15 | 16 | 17 | 18 | 18 | 19 | 19 |
| 1080 | 18 | 12 | 14 | 14 | 15 | 16 | 17 | 17 | 17 | 18 |
| 1440 | 24 | 12 | 13 | 14 | 15 | 15 | 16 | 16 | 17 | 17 |
| 2880 | 48 | 13 | 13 | 14 | 14 | 15 | 15 | 15 | 16 | 16 |
| 4320 | 72 | 14 | 14 | 14 | 14 | 15 | 15 | 15 | 15 | 16 |
| 5760 | 96 | 15 | 15 | 15 | 15 | 15 | 15 | 15 | 16 | 16 |
| 7200 | 120 | 16 | 15 | 15 | 15 | 15 | 15 | 16 | 16 | 16 |
| 8640 | 144 | 16 | 16 | 16 | 16 | 16 | 16 | 16 | 16 | 16 |
| 10080 | 168 | 17 | 16 | 16 | 16 | 16 | 16 | 16 | 16 | 16 |

Parameter für abweichende T und D

Lokationsparameter ξ (Xi)

15,73455765

Skalenparameter α (Alpha)

5,15273339

Formparameter κ (Kappa)

-0,1

1. Koutsoyiannis-Parameter θ (Theta)

0,02120076

2. Koutsoyiannis-Parameter η (Eta)

0,72343822

Parameter für dauerstufenübergreifende Extremwertschätzung nach KOUTSOYIANNIS et al. 1998.

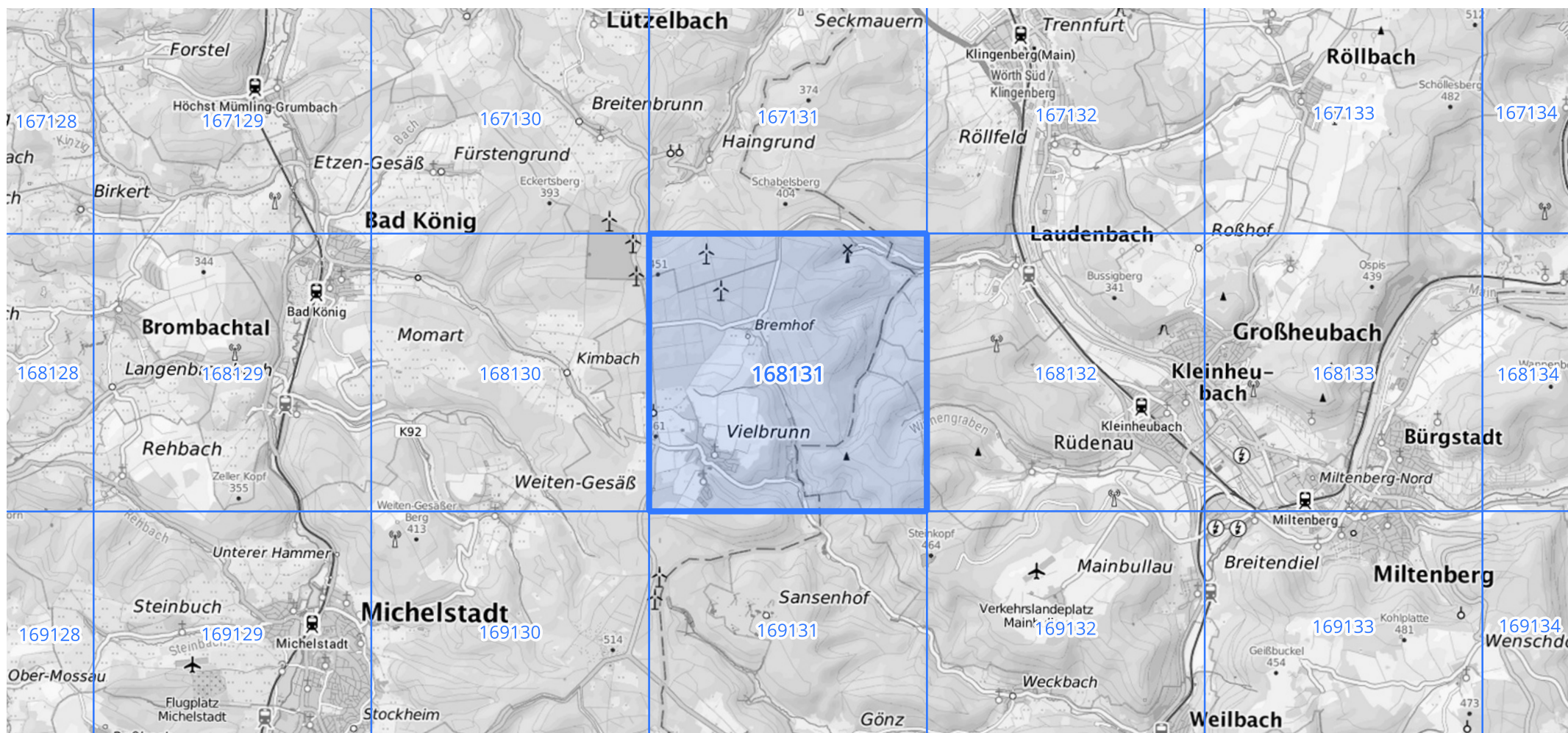
Siehe auch Anwendungshilfe zu KOSTRA-DWD-2020 des Deutschen Wetterdienstes.

Starkniederschlagshöhen und -spenden gemäß KOSTRA-DWD-2020

Rasterfeld 168131

(Zeile 168, Spalte 131)

Übersichtskarte des Rasterfeldes 168131, M 1 : 100 000



Quelle Rasterdaten: KOSTRA-DWD-2020 des Deutschen Wetterdienstes, Stand 12/2022.

Seite 3 von 3

Kartendarstellung: © Bundesamt für Kartographie und Geodäsie (2023), Datenquellen: https://sgx.geodatenzentrum.de/web_public/gdz/datenquellen/Datenquellen_TopPlusOpen.html

Für die Richtigkeit und Aktualität der Angaben wird keine Gewähr übernommen. Erstellt 01/2023.